

AF 74/88/  
891965 8B AKU X2500

2μm

Fig. 1

AF 74/89,  
091873 80.0KV X4000

24

Fig. 2

AF 74/89,  
091872 80.0KV X2500

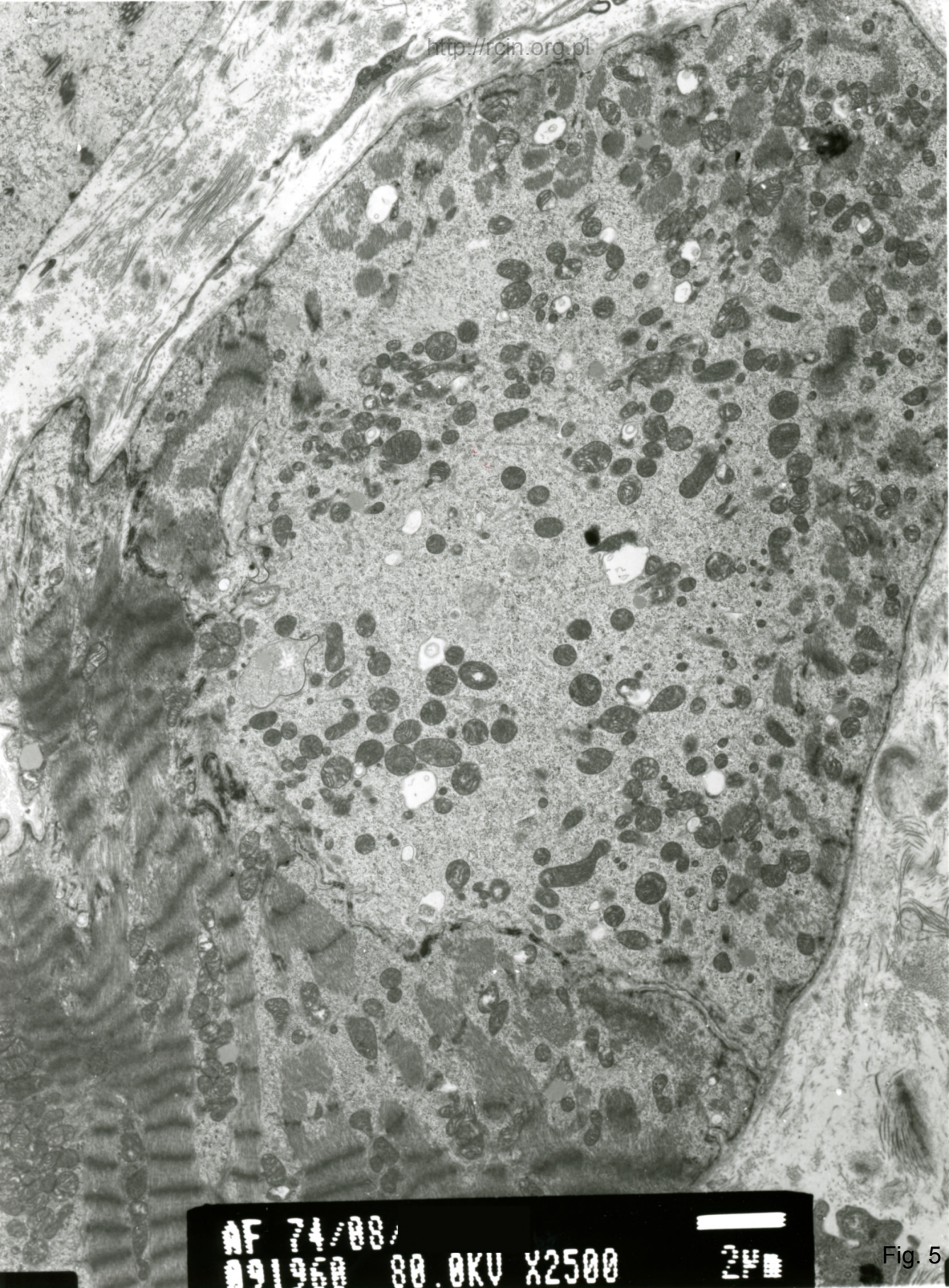
2μm

Fig. 3

AF 74/89/  
991888 80.0KV X4000

24P

Fig. 4



AF 74/88/  
091968 80.0KV X2500

24

Fig. 5

AF 74/89/  
091878 80.0KV X3000

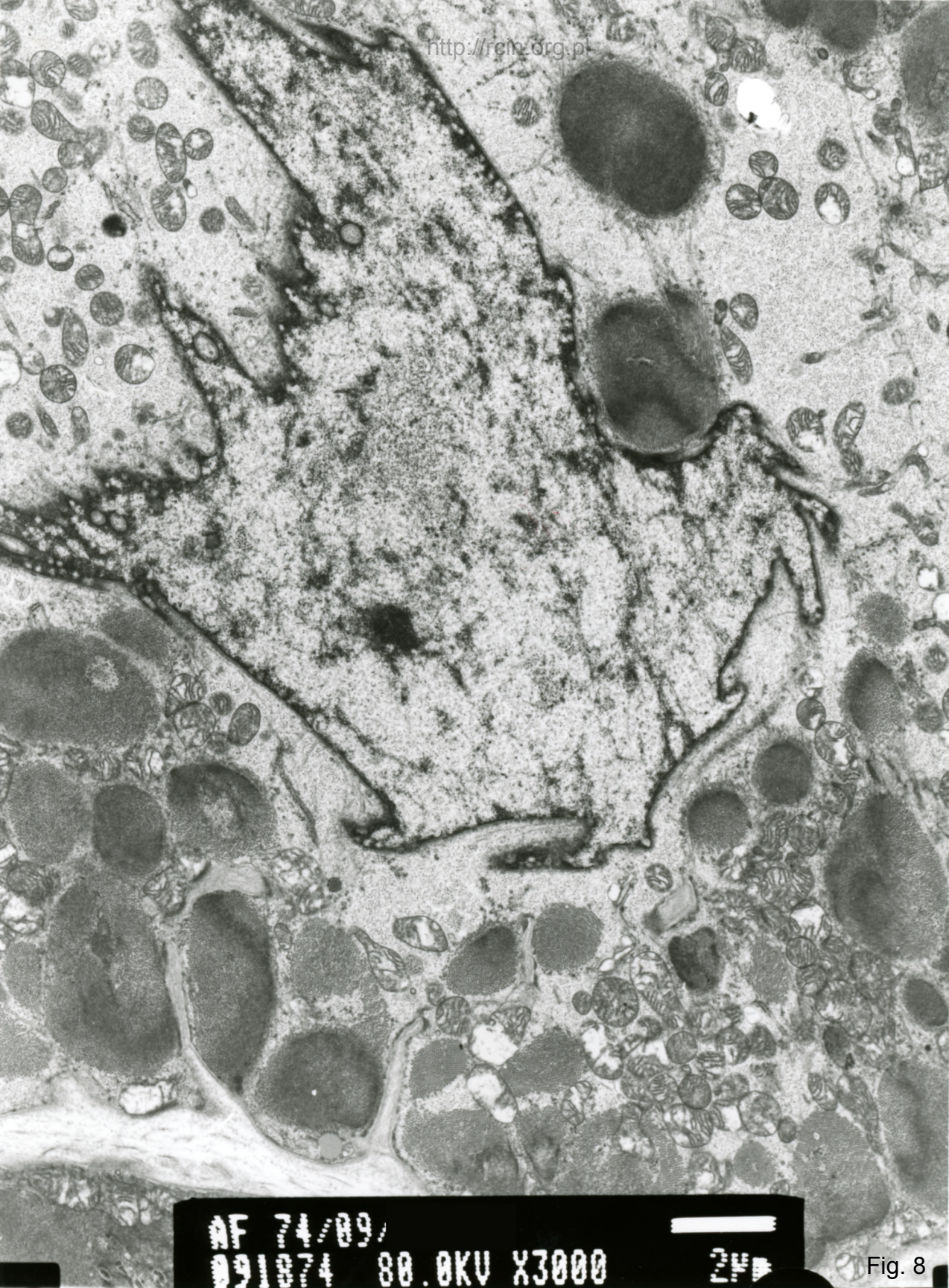
2μm

Fig. 6

AF 74/89/  
291877 88 BKU X2500

2nd

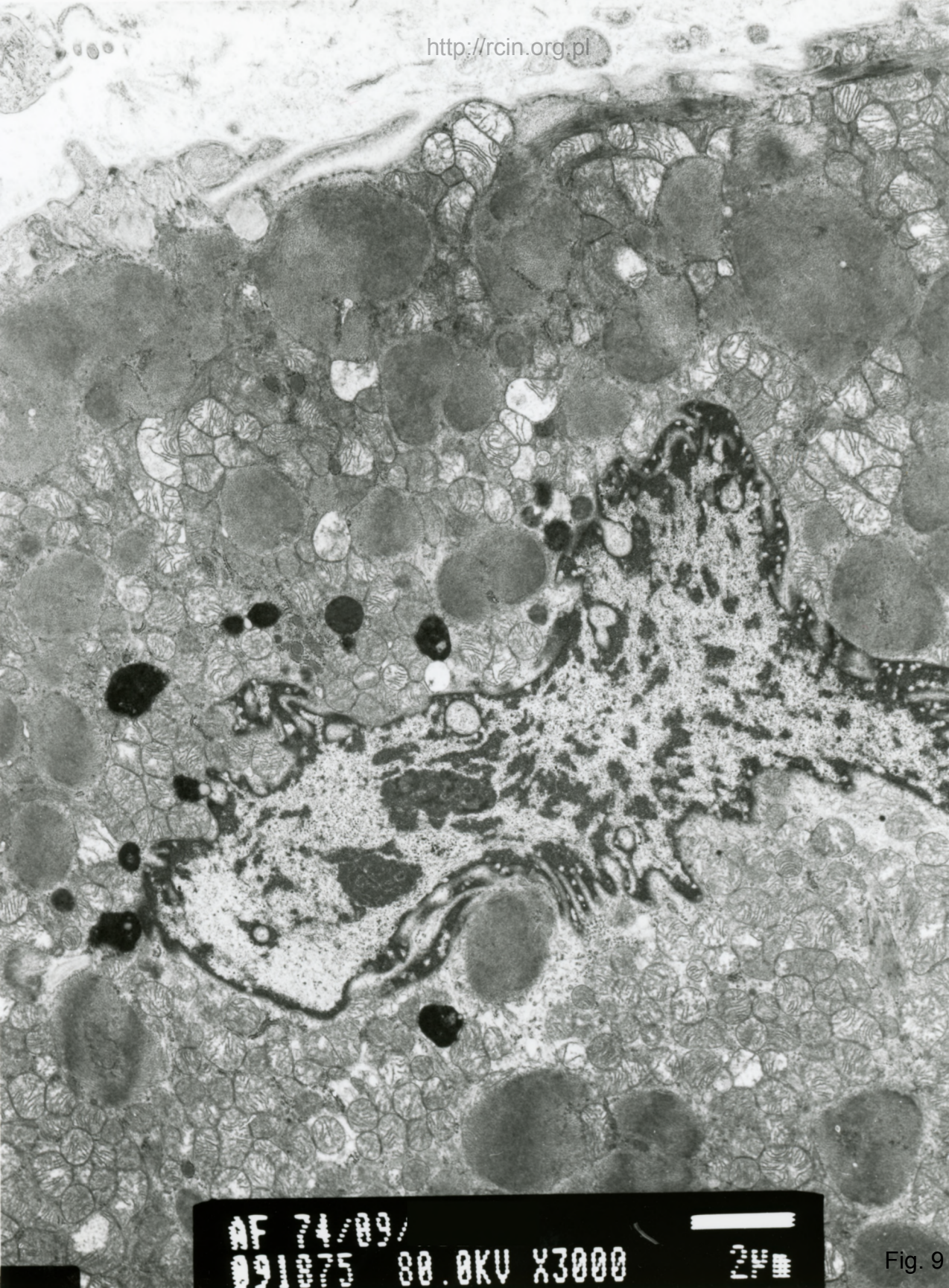
Fig. 7



AF 74/09/  
091874 80.0KV X3000

2FB

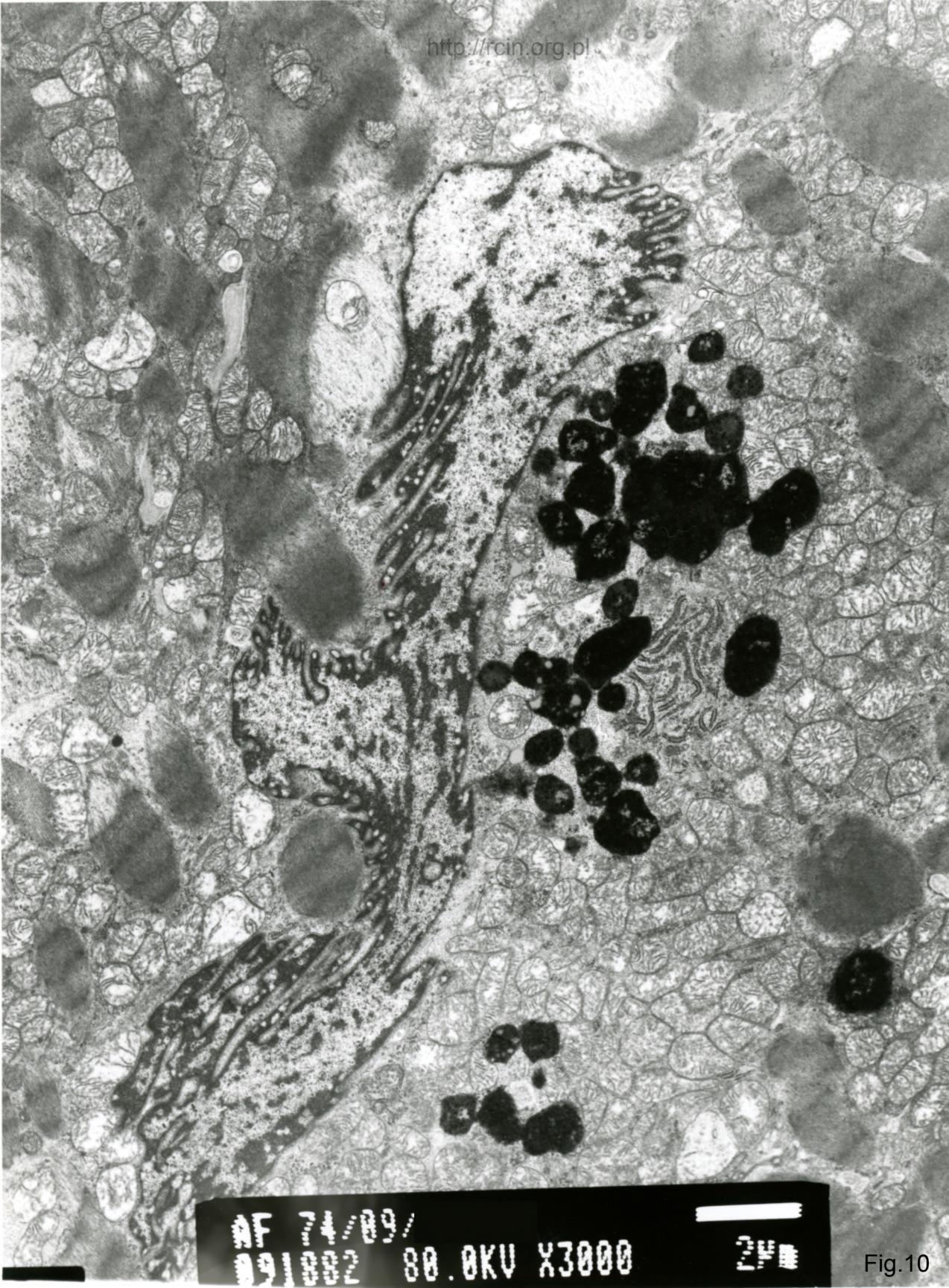
Fig. 8



AF 74/89/  
091875 80.0KV X3000

249

Fig. 9



AF 74/89/  
091882 80.0KV X3000

2FB

Fig.10

74/09

1. 45

### Kardiomiopatia o nieustalonej etiologii

Analiza ultrastrukturalna wykazała dezorganizację sarkomerów i cechy miocytolizy kardiomiocytów (Fig. 1-6). Mitochondria w takich komórkach były zmienione ultrastrukturnalnie, posiadały ciemną elektronowo macierz. Jądra kardiomiocytów posiadały nieregularny kształt i liczne wgłobienia w otoczce, która czasami była ogniskowo przerwana (Fig. 7-10).

### Cardiomyopathy of unknown etiology

Electron microscopy analysis revealed sarcomere disorganization and features of myocytolysis in cardiomyocytes (Figs. 1-6). Mitochondria in such cells were ultrastructurally altered and had dark mitochondrial matrix. Cardiomyocyte nuclei were characterized by an altered, irregular shape and numerous invaginations in the envelope, which in some cases was focally ruptured (Figs. 7-10).